

Kollokwium II z QFT

Grzegorz Gil i Arkadiusz Trawiński

23 kwietnia 2010 roku

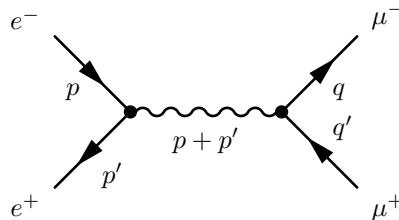
Spis treści

1 Rozpraszanie $e^+e^- \rightarrow \mu^+\mu^-$	1
1.1 Diagram Feynmana	1
1.2 Amplituda rozpraszania	2
1.3 Niezmienniczy element macierzowy	2
1.4 Różniczkowy przekrój czynny	2
1.5 Całkowity przekrój czynny	3
2 Rozparaszanie $e^+e^- \rightarrow \tilde{\mu}^+\tilde{\mu}^-$	3
2.1 Reguła Feynmana	3
2.2 Diagram Feynmana	5
2.3 Amplituda rozpraszania	6
2.4 Niezmienniczy element macierzowy	6
2.5 Różniczkowy przekrój czynny	6
2.6 Całkowity przekrój czynny	6
Dodatki	
A Kinematyka	7
B Różniczkowy przekrój czynny w CMS	8

1 Rozpraszanie $e^+e^- \rightarrow \mu^+\mu^-$

1.1 Diagram Feynmana

W wiodącym rzędzie w rachunku zaburzeń istnieje dokładnie jeden diagram Feynmana dający wkład do procesu $e^+e^- \rightarrow \mu^+\mu^-$ w QED,



gdzie p, p' to czteropędy odpowiednio elektronu i pozytonu, a q, q' to czteropędy odpowiednio mionu i antymionu.

1.2 Amplituda rozpraszania

Z powyższego diagramu, w cechowaniu Feynmana, możemy odczytać następujące wyrażenie na amplitudę rozpraszania.

$$-i\mathcal{M} = \bar{v}(p', s_2)ie\gamma^\mu u(p, s_1) \frac{-ig_{\mu\nu}}{(p+p')^2 + i\epsilon} \bar{U}(q, s_3)ie\gamma^\nu V(q', s_4) \quad (1)$$

$$= \frac{ie^2}{(p+p')^2 + i\epsilon} \bar{v}(p', s_2)\gamma^\mu u(p, s_1)\bar{U}(q, s_3)\gamma_\nu V(q', s_4) \quad (2)$$

1.3 Niezmienniczy element macierzowy

Uśredniając $|\mathcal{M}|^2$ po spinach cząstek wchodzących i sumując po spinach cząstek wychodzących otrzymujemy poniższe wyrażenie na niezmienniczy element macierzowy. Przyjęto oznaczenie na masę elektronu m oraz M na masę mionu.

$$|\bar{\mathcal{M}}|^2 = \frac{1}{4} \frac{e^4}{((p+p')^2 + i\epsilon)^2} \text{Tr} \{ \gamma^\mu (\not{p}' + m) \gamma^\nu (\not{p}' - m) \} \text{Tr} \{ \gamma_\mu (\not{q}' - M) \gamma_\nu (\not{q}' + M) \} \quad (3)$$

$$= \frac{1}{4} \frac{e^4}{((p+p')^2 + i\epsilon)^2} \text{Tr} \{ \gamma^\mu \not{p}' \gamma^\nu \not{p}' - m^2 \gamma^\mu \gamma^\nu \} \text{Tr} \{ \gamma_\mu \not{q}' \gamma_\nu \not{q}' - M^2 \gamma_\mu \gamma_\nu \} \quad (4)$$

$$= 4 \frac{e^4}{((p+p')^2 + i\epsilon)^2} \{ p^\mu p'^\nu + p^\nu p'^\mu - g^{\mu\nu} [(pp') + m^2] \} \{ q'_\mu q'_\nu + q'_\nu q'_\mu - g_{\mu\nu} [(qq') + M^2] \} \quad (5)$$

$$= 8 \frac{e^4}{((p+p')^2 + i\epsilon)^2} \{ (pq')(p'q) + (pq)(p'q') - (pp') [(qq') + M^2] - (qq') [(pp') + m^2] \} \\ + 2 [(pp') + m^2] [(qq') + M^2] \quad (6)$$

$$= 8 \frac{e^4}{((p+p')^2 + i\epsilon)^2} \{ (pq')(p'q) + (pq)(p'q') + (pp')M^2 + (qq')m^2 + 2m^2M^2 \} \quad (7)$$

1.4 Różniczkowy przekrój czynny

W celu wygodnego opisu procesu zderzenia pary e^-e^+ będziemy posługiwać się układem CMS. Kinematyka tego procesu została opisana w dodatku A. Wynika z niej, że niezmienniczy element macierzowy możemy zapisać jako funkcję energii padającego elektronu E oraz kąta θ , jaki tworzą między sobą wektory pędu padającego elektronu i produkowanego mionu.

$$|\bar{\mathcal{M}}|^2 = 8 \frac{e^4}{(p+p')^4} \{ (pq')(p'q) + (pq)(p'q') + (pp')M^2 + (qq')m^2 + 2m^2M^2 \} \quad (8)$$

$$= 8 \frac{e^4}{(2E)^4} \left\{ (E^2 - \sqrt{E^2 - m^2}\sqrt{E^2 - M^2} \cos \theta)^2 + (E^2 + \sqrt{E^2 - m^2}\sqrt{E^2 - M^2} \cos \theta)^2 \right. \\ \left. + (2E^2 - m^2)M^2 + (2E^2 - M^2)m^2 + 2m^2M^2 \right\} \quad (9)$$

$$= 8 \frac{e^4}{(2E)^4} \{ 2E^4 + (E^2 - m^2)(E^2 - M^2) \cos^2 \theta + 2E^2(m^2 + M^2) \} \quad (10)$$

$$= \frac{e^4}{2} \left\{ 2 + \left(1 - \frac{m^2}{E^2}\right) \left(1 - \frac{M^2}{E^2}\right) \cos^2 \theta + 2 \frac{m^2 + M^2}{E^2} \right\} \quad (11)$$

Stosując wzór na różniczkowy przekrój czynny w układzie CMS wyznaczony w dodatku B otrzymujemy.

$$\frac{d\sigma}{d\Omega} = \frac{1}{(2\pi)^2 64 E^2} \sqrt{\frac{1 - \frac{M^2}{E^2}}{1 - \frac{m^2}{E^2}}} |\bar{\mathcal{M}}|^2 \quad (12)$$

$$= \frac{1}{(2\pi)^2 64 E^2} \sqrt{\frac{1 - \frac{M^2}{E^2}}{1 - \frac{m^2}{E^2}}} \frac{e^4}{2} \left\{ 2 + \left(1 - \frac{m^2}{E^2}\right) \left(1 - \frac{M^2}{E^2}\right) \cos^2 \theta + 2 \frac{m^2 + M^2}{E^2} \right\} \quad (13)$$

$$= \frac{e^4}{512\pi^2 E^2} \sqrt{\frac{1 - \frac{M^2}{E^2}}{1 - \frac{m^2}{E^2}}} \left\{ 2 + \left(1 - \frac{m^2}{E^2}\right) \left(1 - \frac{M^2}{E^2}\right) \cos^2 \theta + 2 \frac{m^2 + M^2}{E^2} \right\} \quad (14)$$

1.5 Całkowity przekrój czynny

Całkując różniczkowy przekrój czynny po $d\Omega$ dostajemy wyrażenie na całkowity przekrój czynny

$$\sigma = \int \left(\frac{d\sigma}{d\Omega} \right) d\phi d \cos \theta \quad (15)$$

$$= \frac{e^4}{256\pi E^2} \sqrt{\frac{1 - \frac{M^2}{E^2}}{1 - \frac{m^2}{E^2}}} \int \left\{ 2 + \left(1 - \frac{m^2}{E^2}\right) \left(1 - \frac{M^2}{E^2}\right) \cos^2 \theta + 2 \frac{m^2 + M^2}{E^2} \right\} d \cos \theta \quad (16)$$

$$= \frac{e^4}{128\pi E^2} \sqrt{\frac{1 - \frac{M^2}{E^2}}{1 - \frac{m^2}{E^2}}} \left\{ 2 + \frac{1}{3} \left(1 - \frac{m^2}{E^2}\right) \left(1 - \frac{M^2}{E^2}\right) + 2 \frac{m^2 + M^2}{E^2} \right\} \quad (17)$$

2 Rozparaszanie $e^+ e^- \rightarrow \tilde{\mu}^+ \tilde{\mu}^-$

2.1 Reguła Feynmana

Lagranżjan dla teorii opisującej oddziaływanie z polem elektromagnetycznym elektronów i cząstek skalarnych $\tilde{\mu}^\pm$ o takiej samej masie i ładunku co mion jest poniższej postaci.

$$\mathcal{L} = -\frac{1}{4} F_{\mu\nu} F^{\mu\nu} + \bar{\Psi}_e (i\not{D} - m) \Psi_e + (D_\mu \phi)^* D^\mu \phi - M^2 \phi^* \phi \quad (18)$$

Gdzie D_μ jest pochodną kowariantą zdefiniowaną wyrażeniem:

$$D_\mu = \partial_\mu - ie A_\mu. \quad (19)$$

Część tego lagranżjanu odpowiadająca za oddziaływanie jest więc równa:

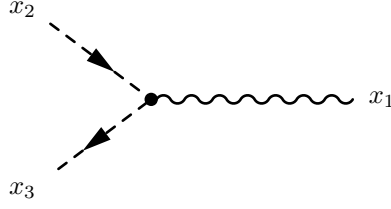
$$\mathcal{L}_{int} = e A_\mu \bar{\Psi}_e \gamma^\mu \Psi_e + ie \{ A_\mu \phi^* \partial^\mu \phi - A_\mu \phi \partial^\mu \phi^* \} + e^2 A_\mu \phi^* A^\mu \phi. \quad (20)$$

Znajdźmy regułę Feynmana związaną z wierzchołkiem $\tilde{\mu}^+ \tilde{\mu}^- A_\mu$. W tym celu poszukajmy wkładu do trzypunktowej funkcji Greena dla pól $\tilde{\mu}^+$, $\tilde{\mu}^-$ i A_ν odpowiadającej diagramowi poniższej postaci.

Od tego miejsca zaniedbujemy oddziaływanie z elektronem, ponieważ nie wnosi ono żadnego wkładu do powyższego diagramu. Funkcjonał generujący dla swobodnej teorii opisującej cząstki $\tilde{\mu}^\pm$ i pole elektromagnetyczne jest postaci:

$$W_0[J] = \exp \left\{ i \int d^4 u d^4 v J_+(u) G(u-v) J_-(v) + \frac{i}{2} \int d^4 u d^4 v J_\alpha(u) D^{\alpha\beta}(u-v) J_\beta(v) \right\}, \quad (21)$$

gdzie $G(u-v) = \int \frac{d^4 k}{(2\pi)^4} \frac{e^{-ik(u-v)}}{k^2 - M^2 + i\epsilon}$ to propagator pola skalarnego, a $D^{\alpha\beta}(u-v) = \int \frac{d^4 k}{(2\pi)^4} \frac{g^{\alpha\beta}}{k^2 + i\epsilon} e^{-ik(u-v)}$ to propagator pola A_μ .



Rysunek 1: Wierzchołek oddziaływania $\tilde{\mu}^+$, $\tilde{\mu}^-$ i A_ν .

Wkład do działania odpowiadający oddziaływaniu $\tilde{\mu}^+ \tilde{\mu}^- A_\mu$ jest równy

$$S_{int} = \int d^4y (ie) \{ A_\mu(y) \phi^*(y) \partial_y^\mu \phi(y) - A_\mu(y) \phi(y) \partial_y^\mu \phi^*(y) \}. \quad (22)$$

W pierwszym rzędzie rachunku zaburzeń fragment funkcjonału generującego naszej teorii, który daje niezerowy wkład do rozważanej przez nas funkcji Greena jest postaci

$$W[J] = \exp(iS_{int}) W_0[J] \approx (1 + iS_{int}) W_0[J]. \quad (23)$$

Pomijając wkłady związane z brakiem oddziaływań (odpowiadające $1 \cdot W_0[J]$) otrzymujemy:

$$W[J] = i(ie) \int d^4y \left(\frac{1}{i} \right)^3 \frac{\delta}{\delta J^\mu(y)} \left[\frac{\delta}{\delta J_-(y_-)} \partial_{y_+}^\mu \frac{\delta}{\delta J_+(y_+)} - \frac{\delta}{\delta J_+(y_+)} \partial_{y_-}^\mu \frac{\delta}{\delta J_-(y_-)} \right] W_0[J], \quad (24)$$

gdzie na końcu obliczeń podstawimy $y = y_- = y_+$.

Pamiętając, że na końcu poniższego rachunku podstawimy $J^\nu = J_+ = J_- = 0$ otrzymujemy:

$$G_\nu^{(3)}(x_1, x_2, x_3) = \left(\frac{1}{i} \right)^3 \frac{\delta}{\delta J^\nu(x_1)} \frac{\delta}{\delta J_+(x_2)} \frac{\delta}{\delta J_-(x_3)} W[J] \Big|_{J^\nu = J_+ = J_- = 0} \quad (25)$$

$$= \left(\frac{1}{i} \right)^3 \frac{\delta}{\delta J^\nu(x_1)} \frac{\delta}{\delta J_+(x_2)} \frac{\delta}{\delta J_-(x_3)} \times i(ie) \int d^4y \left(\frac{1}{i} \right)^3 \frac{\delta}{\delta J^\mu(y)} \left[\frac{\delta}{\delta J_-(y_-)} \partial_{y_+}^\mu \frac{\delta}{\delta J_+(y_+)} - \frac{\delta}{\delta J_+(y_+)} \partial_{y_-}^\mu \frac{\delta}{\delta J_-(y_-)} \right] W_0[J] \quad (26)$$

$$= \left(\frac{1}{i} \right)^3 \frac{\delta}{\delta J^\nu(x_1)} \frac{\delta}{\delta J_+(x_2)} \frac{\delta}{\delta J_-(x_3)} \times i(ie) \int d^4y \left(\frac{1}{i} \right)^3 \frac{\delta}{\delta J^\mu(y)} \left[\frac{\delta}{\delta J_-(y_-)} \partial_{y_+}^\mu \frac{\delta}{\delta J_+(y_+)} - \frac{\delta}{\delta J_+(y_+)} \partial_{y_-}^\mu \frac{\delta}{\delta J_-(y_-)} \right] \times \frac{1}{3!} \left\{ i \int d^4u d^4v J_+(u) G(u-v) J_-(v) - \frac{i}{2} \int d^4u d^4v J^\alpha(u) D_{\alpha\beta}(u-v) J^\beta(v) \right\}^3 \quad (27)$$

$$= e \frac{\delta}{\delta J^\nu(x_1)} \frac{\delta}{\delta J_+(x_2)} \frac{\delta}{\delta J_-(x_3)} \int d^4y \frac{1}{3!} 3 \cdot 2 \left(-\frac{i}{2} \right) \int d^4v [D_{\mu\rho}(y-v) J^\rho(v) + J^\rho(v) D_{\rho\mu}(v-y)] \times i \left\{ \frac{\delta}{\delta J_-(y_-)} \partial_{y_+}^\mu \int d^4v G(y_+ - v) J_-(v) - \frac{\delta}{\delta J_+(y_+)} \partial_{y_-}^\mu \int d^4u J_+(u) G(u - y_-) \right\} \times \left\{ i \int d^4u d^4v J_+(u) G(u-v) J_-(v) - \frac{i}{2} \int d^4u d^4v J^\alpha(u) D_{\alpha\beta}(u-v) J^\beta(v) \right\}. \quad (28)$$

Z wyrażenia (28) ograniczamy się tylko do członów odpowiadających diagramowi 1.

$$\begin{aligned}
G_\nu^{(3)}(x_1, x_2, x_3) \Big|_{\tilde{\mu}^+ \tilde{\mu}^- A_\nu} &= ie \frac{\delta}{\delta J_+(x_2)} \frac{\delta}{\delta J_-(x_3)} \int d^4 y D_{\nu\mu}(x_1 - y) \\
&\times \left\{ \partial_{y_+}^\mu \int d^4 v G(y_+ - v) J_-(v) \int d^4 u J_+(u) G(u - y_-) \right. \\
&\left. - \partial_{y_-}^\mu \int d^4 u J_+(u) G(u - y_-) \int d^4 v G(y_+ - v) J_-(v) \right\} \quad (29)
\end{aligned}$$

$$= ie \int d^4 y D_{\nu\mu}(x_1 - y) \left\{ \partial_{y_+}^\mu G(y_+ - x_3) G(x_2 - y_-) - \partial_{y_-}^\mu G(x_2 - y_-) G(y_+ - x_3) \right\} \quad (30)$$

$$= e \int \frac{d^4 k_2}{(2\pi)^4} \frac{d^4 k_3}{(2\pi)^4} \int d^4 y D_{\mu\nu}(x_1 - y) (k_2 + k_3)^\mu \frac{e^{-ik_3(y-x_3)} e^{-ik_2(x_2-y)}}{(k_3^2 - M^2 + i\epsilon)(k_2^2 - M^2 + i\epsilon)} \quad (31)$$

$$= e \int \frac{d^4 k_2}{(2\pi)^4} \frac{d^4 k_3}{(2\pi)^4} (k_2 + k_3)^\mu \frac{e^{ik_3 x_3} e^{-ik_2 x_2}}{(k_3^2 - M^2 + i\epsilon)(k_2^2 - M^2 + i\epsilon)} \int d^4 y D_{\mu\nu}(x_1 - y) e^{-ik_3 y} e^{+ik_2 y} \quad (32)$$

$$\begin{aligned}
&= e \int \frac{d^4 k_1}{(2\pi)^4} \frac{d^4 k_2}{(2\pi)^4} \frac{d^4 k_3}{(2\pi)^4} (k_2 + k_3)^\mu \frac{g_{\mu\nu} e^{ik_3 x_3} e^{-ik_2 x_2} e^{-ik_1 x_1}}{(k_3^2 - M^2 + i\epsilon)(k_2^2 - M^2 + i\epsilon)(k_1^2 + i\epsilon)} \\
&\times \int d^4 y e^{-ik_3 y} e^{+ik_2 y} e^{ik_1 y} \quad (33)
\end{aligned}$$

$$\begin{aligned}
&= -ie \int \frac{d^4 k_1}{(2\pi)^4} \frac{d^4 k_2}{(2\pi)^4} \frac{d^4 k_3}{(2\pi)^4} (2\pi)^4 \delta^{(4)}(k_3 - k_2 - k_1) \\
&\times (k_2 + k_3)^\mu \frac{ie^{ik_3 x_3}}{k_3^2 - M^2 + i\epsilon} \frac{ie^{-ik_2 x_2}}{k_2^2 - M^2 + i\epsilon} \frac{-ig^{\mu\nu} e^{-ik_1 x_1}}{k_1^2 + i\epsilon} \quad (34)
\end{aligned}$$

Przechodząc do reprezentacji pędowej funkcji Greena otrzymujemy:

$$\tilde{G}_\nu^{(3)}(k_1, k_2, k_3) = -ie(k_2 - k_3)^\mu \frac{i}{k_3^2 - M^2 + i\epsilon} \frac{i}{k_2^2 - M^2 + i\epsilon} \frac{-ig_{\mu\nu}}{k_1^2 + i\epsilon} (2\pi)^4 \delta^{(4)}(k_3 + k_2 + k_1), \quad (35)$$

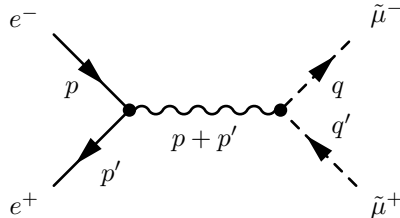
gdzie k_1, k_2, k_3 to czteropędy wychodzące z diagramu.

Z (35) i z rysunku 1 możemy odczytać następującą regułę Feynmana: wierzchołkowi $\tilde{\mu}^+ \tilde{\mu}^- A_\mu$ przypisujemy wyrażenie postaci $-ie(\pm q \pm q')^\mu$, gdzie:

- wybieramy znak „+” dla cząstki ($\tilde{\mu}^-$), zarówno wchodzącej jak i wychodzącej;
- wybieramy znak „-” dla antycząstki ($\tilde{\mu}^+$), zarówno wchodzącej jak i wychodzącej.

2.2 Diagram Feynmana

Istnieje dokładnie jeden diagram Feynmana w wiodącym rzędzie rachunku zaburzeń dla procesu $e^+ e^- \rightarrow \tilde{\mu}^+ \tilde{\mu}^-$.



2.3 Amplituda rozpraszania

Stosując te same oznaczenia co w przypadku procesu $e^-e^+ \rightarrow \mu^- \mu^+$, zastępując jedynie μ^\pm przez $\tilde{\mu}^\pm$ otrzymujemy następujące wyrażenie na amplitudę rozpraszania.

$$-i\mathcal{M} = \bar{v}(p', s_2) i e \gamma^\mu u(p, s_1) \frac{-i g_{\mu\nu}}{(p+p')^2 + i\epsilon} (-ie)(q^\nu - q'^\nu) \quad (36)$$

$$= \frac{-ie^2}{(p+p')^2 + i\epsilon} \bar{v}(p', s_2) \gamma^\mu u(p, s_1) (q_\mu - q'_\mu) \quad (37)$$

2.4 Niezmienniczy element macierzowy

Uśredniając $|\mathcal{M}|^2$ po spinach cząstek wchodzących dostajemy.

$$|\bar{\mathcal{M}}|^2 = \frac{1}{4} \frac{e^4}{((p+p')^2 + i\epsilon)^2} \text{Tr} \{ \gamma^\mu (\not{p}' + m) \gamma^\nu (\not{p} - m) \} (q_\mu - q'_\mu)(q_\nu - q'_\nu) \quad (38)$$

$$= \frac{1}{4} \frac{e^4}{((p+p')^2 + i\epsilon)^2} \text{Tr} \{ \gamma^\mu \not{p}' \gamma^\nu \not{p} - m^2 \gamma^\mu \gamma^\nu \} (q_\mu - q'_\mu)(q_\nu - q'_\nu) \quad (39)$$

$$= \frac{e^4}{((p+p')^2 + i\epsilon)^2} \{ p^\mu p'^\nu + p^\nu p'^\mu - g^{\mu\nu} [(pp') + m^2] \} (q_\mu - q'_\mu)(q_\nu - q'_\nu) \quad (40)$$

$$= \frac{e^4}{((p+p')^2 + i\epsilon)^2} \{ 2[(pq) - (p'q)][(p'q) - (p'q')] - (q - q')^2 [(pp') + m^2] \} \quad (41)$$

2.5 Różniczkowy przekrój czynny

W układzie CMS możemy wyrazić niezmienniczy element macierzowy jako funkcję E i kąta θ . Korzystając z wyników z dodatku A otrzymujemy.

$$|\bar{\mathcal{M}}|^2 = \frac{e^4}{((p+p')^2 + i\epsilon)^2} \{ 2[(pq) - (p'q)][(p'q) - (p'q')] - (q - q')^2 [(pp') + m^2] \} \quad (42)$$

$$= \frac{e^4}{(2E)^4} \left\{ -2 \left[(E^2 - \sqrt{E^2 - m^2} \sqrt{E^2 - M^2} \cos \theta) - (E^2 + \sqrt{E^2 - m^2} \sqrt{E^2 - M^2} \cos \theta) \right]^2 \right. \quad (43)$$

$$\left. + 4(E^2 - M^2) [(2E^2 - m^2) + m^2] \right\} \quad (44)$$

$$= \frac{e^4}{(2E)^4} \left\{ -8(E^2 - m^2)(E^2 - M^2) \cos^2 \theta + 8(E^2 - M^2)E^2 \right\} \quad (45)$$

$$= \frac{e^4}{2} \left\{ \left(1 - \frac{M^2}{E^2}\right) - \left(1 - \frac{m^2}{E^2}\right) \left(1 - \frac{M^2}{E^2}\right) \cos^2 \theta \right\} \quad (46)$$

Różniczkowy przekrój czynny wyraża się więc wzorem:

$$\frac{d\sigma}{d\Omega} = \frac{1}{(2\pi)^2 64 E^2} \sqrt{\frac{E^2 - M^2}{E^2 - m^2}} |\bar{\mathcal{M}}|^2 \quad (47)$$

$$= \frac{1}{(2\pi)^2 64 E^2} \sqrt{\frac{E^2 - M^2}{E^2 - m^2}} \frac{e^4}{2} \left\{ \left(1 - \frac{M^2}{E^2}\right) - \left(1 - \frac{m^2}{E^2}\right) \left(1 - \frac{M^2}{E^2}\right) \cos^2 \theta \right\} \quad (48)$$

$$= \frac{e^4}{512\pi^2 E^2} \sqrt{\frac{1 - \frac{M^2}{E^2}}{1 - \frac{m^2}{E^2}}} \left\{ \left(1 - \frac{M^2}{E^2}\right) - \left(1 - \frac{m^2}{E^2}\right) \left(1 - \frac{M^2}{E^2}\right) \cos^2 \theta \right\}. \quad (49)$$

2.6 Całkowity przekrój czynny

Całkując różniczkowy przekrój czynny po $d\Omega$ dostajemy wyrażenie na całkowity przekrój czynny.

$$\sigma = \int \left(\frac{d\sigma}{d\Omega} \right) d\phi d \cos \theta \quad (50)$$

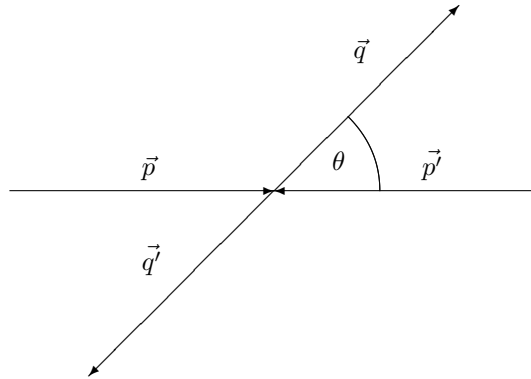
$$= \frac{e^4}{256\pi E^2} \sqrt{\frac{1 - \frac{M^2}{E^2}}{1 - \frac{m^2}{E^2}}} \int \left\{ \left(1 - \frac{M^2}{E^2}\right) - \left(1 - \frac{m^2}{E^2}\right) \left(1 - \frac{M^2}{E^2}\right) \cos^2 \theta \right\} d \cos \theta \quad (51)$$

$$= \frac{e^4}{128\pi E^2} \sqrt{\frac{1 - \frac{M^2}{E^2}}{1 - \frac{m^2}{E^2}}} \left\{ \left(1 - \frac{M^2}{E^2}\right) - \frac{1}{3} \left(1 - \frac{m^2}{E^2}\right) \left(1 - \frac{M^2}{E^2}\right) \right\} \quad (52)$$

Dodatki

A Kinematyka

Rozważmy proces $2 \rightarrow 2$ w układzie CMS. Jest on schematycznie przedstawiony na rysunku 2. Przez p, p' oznaczmy czteropędy cząstek padających, a przez q, q' czteropędy cząstek wychodzących. Zakładamy, że zarówno masy cząstek wchodzących jak i wychodzących są sobie równe i wynoszą odpowiednio m i M . W układzie CMS energia padających cząstek jest równa i została oznaczona przez E . Wprowadźmy ponadto oznaczenie θ na kąt pomiędzy wektorem \vec{p} a wektorem \vec{q} .



Rysunek 2: Zderzenie w układzie środka masy (CMS)

W takim razie w układzie CMS prawdziwe są następujące tożsamości:

$$p = (E, \vec{p}) \quad (53)$$

$$p' = (E, \vec{p}') = (E, -\vec{p}) \quad (54)$$

$$q = (E, \vec{q}) \quad (55)$$

$$q' = (E, \vec{q}') = (E, -\vec{q}) \quad (56)$$

$$pq = E^2 - |\vec{p}||\vec{q}| \cos \theta = E^2 - \sqrt{E^2 - m^2} \sqrt{E^2 - M^2} \cos \theta = p'q' \quad (57)$$

$$pq' = E^2 + \sqrt{E^2 - m^2} \sqrt{E^2 - M^2} \cos \theta = p'q \quad (58)$$

$$pp' = E^2 + \vec{p}^2 = 2E^2 - m^2 \quad (59)$$

$$qq' = E^2 + \vec{q}^2 = 2E^2 - M^2 \quad (60)$$

$$(q - q')^2 = -4E^2 + 4M^2 \quad (61)$$

B Różniczkowy przekrój czynny w CMS

Dla procesów $2 \rightarrow 2$ w CMS, w których cząstki wchodzące mają takie same masy równe m , a cząstki wychodzące posiadają również takie same masy równe M , korzystając z tożsamości wyprowadzonych w dodatku A wzór na całkowity przekrój czynny możemy uprościć następująco:

$$\sigma = \frac{1}{4\sqrt{(pp')^2 - m^4}} \int \frac{d^3\vec{q}}{(2\pi)^3 2E_q} \int \frac{d^3\vec{q}'}{(2\pi)^3 2E_{q'}} (2\pi)^4 \delta^{(4)}(q + q' - p - p') |\bar{\mathcal{M}}|^2 \quad (62)$$

$$= \frac{1}{4\sqrt{(pp')^2 - m^4}} \int \frac{d^3\vec{q}}{(2\pi)^2 4E_q E_{q'}} \delta(E_q + E_{q'} - E_p - E_{p'}) |\bar{\mathcal{M}}|^2 \quad (63)$$

$$= \frac{1}{4\sqrt{(2E^2 - m^2)^2 - m^4}} \int \frac{d\Omega \vec{q}^2 d|\vec{q}|}{(2\pi)^2 4E E_q} \delta(2E_q - 2E) |\bar{\mathcal{M}}|^2 \quad (64)$$

$$= \frac{1}{4\sqrt{4E^4 - 4E^2 m^2}} \int \frac{d\Omega \vec{q}^2 d|\vec{q}|}{(2\pi)^2 8E E_q} \delta(E_q - E) |\bar{\mathcal{M}}|^2 \quad (65)$$

$$= \frac{1}{4\sqrt{4E^4 - 4E^2 m^2}} \int \frac{d\Omega \sqrt{E_q^2 - M^2} dE_q}{(2\pi)^2 8E} \delta(E_q - E) |\bar{\mathcal{M}}|^2 \quad (66)$$

$$= \frac{1}{(2\pi)^2 64E^2} \sqrt{\frac{E^2 - M^2}{E^2 - m^2}} \int d\Omega |\bar{\mathcal{M}}|^2 \quad (67)$$

$$= \frac{1}{(2\pi)^2 64E^2} \sqrt{\frac{1 - \frac{M^2}{E^2}}{1 - \frac{m^2}{E^2}}} \int d\Omega |\bar{\mathcal{M}}|^2 \quad (68)$$